

03

О теории плоской линзы из материала с отрицательным преломлением

© А.Б. Петрин

Объединенный институт высоких температур РАН,
125412 Москва, Россия
e-mail: a_petrin@mail.ru

Поступила в редакцию 19.09.2020 г.

В окончательной редакции 04.10.2020 г.

Принята к публикации 05.10.2020 г.

Рассмотрена строгая теория распространения электромагнитной волны от точечного элементарного источника тока при ее фокусировке плоским слоем, заполненным веществом с отрицательным показателем преломления (линзой Веселаго). Исследованы распределения электромагнитного поля в фокальной области и определены ее размеры. Подробно обсуждены ключевые вопросы теории.

Ключевые слова: нанофокусировка, поверхностные плазмоны, оптические сенсоры.

DOI: 10.21883/OS.2021.01.50440.240-20

Введение

В последнее десятилетие сохраняется интерес к электродинамике материалов, характеризующихся отрицательными показателями преломления [1]. Благодаря достижениям в нанотехнологии композитных материалов были созданы новые материалы, свойства которых могут быть объяснены наличием у них отрицательного показателя преломления [2,3]. В работе [4] был выдвинут тезис о том, что линзы Веселаго, представляющие собой слой из материала с отрицательным преломлением, позволяют в принципе преодолеть дифракционный предел оптических инструментов и получить сингулярность в фокальной точке. Этот тезис имеет много возражений [5], которые не являются абсолютно бесспорными [6]. Тем не менее выдвинутая в работе [4] концепция о суперлинзе (в виде слоя вещества с отрицательным преломлением), позволяющей в идеальном случае полностью преодолеть дифракционный предел, нашла множество сторонников [7–13]. Однако сама концепция подобной суперлинзы кажется абсолютно невероятной. Действительно, хорошо известно еще со времен Френеля, что размеры фокального пятна определяются только углом между крайними сходящимися лучами и длиной волны излучения в области фокусировки [14, §55], [15]. Размеры фокального пятна являются свойством сходящейся волны и не зависят от оптической системы, которая эту сходящуюся волну образовала. В случае суперлинзы сходящаяся волна находится вне слоя с отрицательным преломлением, и кажется разумным, что она должна фокусироваться в область обычных, конечных размеров порядка длины волны. Однако авторы упомянутых работ по суперлинзам настолько увлечены перспективами, что не обсуждают противоречие сингулярной фокусировки с хорошо установленными фундаментальными следствиями теории Максвелла.

Чтобы разобраться в деталях этой запутанной проблемы, в работе [16] в строгой формулировке была рассмотрена задача распространения электромагнитной (ЭМ) волны, излученной элементарным источником электрического тока, расположенным в воздухе (или вакууме), и направленным параллельно границе слоя. Кроме того, был рассмотрен частный случай источника рядом с полупространством, заполненным материалом с отрицательным показателем преломления [17]. Применялся строгий подход, восходящий к Зоммерфельду [18,19], при котором для лучшей сходимости интегралов вводилось малое поглощение в среде линзы. В последнее время произошло существенное развитие понимания методов теории распространения и возбуждения электромагнитных волн в слоистых средах в работах [20,21]. Теория работ [20,21] во многом перекликается с известными классическими работами о дипольном излучении в многослойной геометрии [22,23], отличаясь более подробным изложением вопросов правильного выбора аналитических ветвей многозначных функций, возникающих в задаче. В связи с этим возникла идея проверить результаты работы [16] и решить задачу фокусировки линзой Веселаго без поглощения, так как именно с поглощением в материале связывалось некоторыми исследователями неудача в достижении суперразрешения. Ниже теория работ [20,21] применяется для анализа фокусировки линзой Веселаго и подобными многоплечными устройствами в отсутствие поглощения в материале линзы и в окружающей ее среде.

Постановка задачи

Рассмотрим линзу Веселаго (рис. 1). Пусть диэлектрическая и магнитная проницаемости линзы (пластины с отрицательным преломлением) на рассматриваемой циклической частоте ω точно равны соответственно

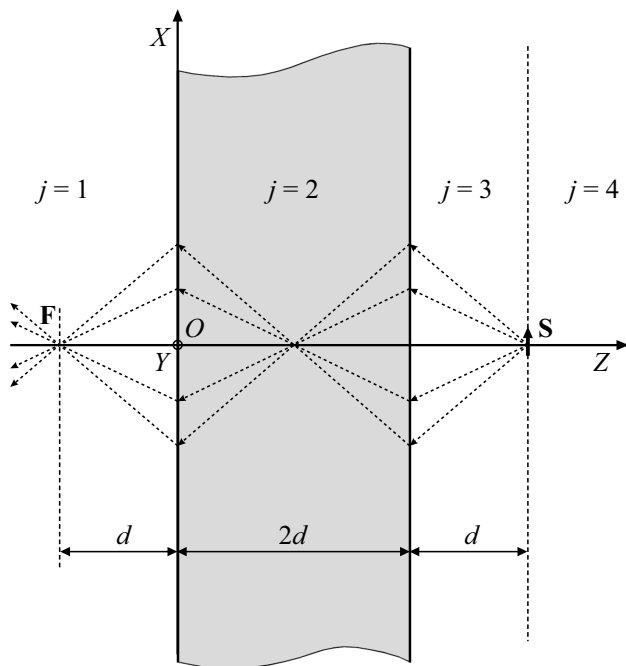


Рис. 1. Фокусировка плоским слоем материала с отрицательным преломлением волны от элементарного источника тока **S**. Для наглядности показано преломление волн в лучевом приближении. Показано разделение пространства на два слоя и два полупространства.

$\epsilon_2 = (-1)\epsilon_0$ и $\mu_2 = (-1)\mu_0$, где ϵ_0 и μ_0 — диэлектрическая и магнитные проницаемости вакуума. Пусть элементарный источник тока (диполь) **S** расположен на расстоянии d от линзы, причем d приравняем половине толщины линзы (рис. 1), чтобы в лучевом приближении поле, излученное источником, фокусировалось в симметричной точке фокуса **F**. Система координат показана на рисунке. Пусть элементарный источник тока **S** направлен по оси X и определяется плотностью стороннего тока

$$\mathbf{J}(x, y, z) = \mathbf{e}_x \delta(x) \delta(y) \delta(z - z_d),$$

где $z_d = 3d$, $\delta(x)$ — дельта-функция Дирака. Везде в данной работе предполагается комплексное представление $e^{-i\omega t}$.

Введем нумерацию однородных областей, на которые можно разбить задачу. Пусть левое полупространство с номером $j = 1$ имеет диэлектрическую и магнитную проницаемости вакуума $\epsilon_1 = \epsilon_0$, $\mu_1 = \mu_0$, слой $j = 2$ толщины $2d$ с отрицательным преломлением имеет постоянные $\epsilon_2 = (-1)\epsilon_0$ и $\mu_2 = (-1)\mu_0$, слой $j = 3$ толщиной d имеет проницаемости вакуума $\epsilon_3 = \epsilon_0$, $\mu_3 = \mu_0$ и, наконец, правое полупространство $j = 4$ имеет проницаемости вакуума $\epsilon_4 = \epsilon_0$, $\mu_4 = \mu_0$. Координаты границ слоев z_j по оси Z равны соответственно $z_1 = 0$, $z_2 = 2d$ и $z_3 = 3d$. Целью работы будет нахождение распределения электрического поля в окрестности фокуса **F**. Задача сформулирована так, что мы рассматриваем излучение

элементарного источника тока, расположенного на границе плоскостной структуры, состоящей из двух пленок, и направленного параллельно границе структуры (слой вакуума, отделяющего диполь от линзы, и сам слой линзы). Такая формулировка позволяет практически без изменений применить методы работ [20,21] (источник на границе или внутри одной из пленок слоистой структуры) для нахождения фокального распределения. Имея в виду дальнейшее обобщение на более широкий класс задач, кратко опишем эти методы для общей задачи с любым конечным числом пленок, а затем вернемся к нашей частной задаче о линзе Веселого.

Излучение элементарного излучателя, расположенного внутри произвольной плоскостной структуры

Пусть общее число пленок равно N_f , толщина m -й пленки равна d_m и полная толщина слоистой структуры равна $d_{\text{tot}} = \sum_{m=1}^{N_f} d_m$. Общее число границ между пленками обозначим как $N = N_f + 1$. Пронумеруем области пространства $j = 1, \dots, (N + 1)$ (на рис. 2 показана для примера задача с тремя пленками, для которой $N = 4$, $N_f = 3$). Предположим, что пленки имеют абсолютные комплексные диэлектрические и магнитные проницаемости, равные ϵ_j и μ_j на рассматриваемой частоте ω , а перед слоистой структурой и за ней находятся однородные полупространства с проницаемостями ϵ_1, μ_1 и $\epsilon_{N+1}, \mu_{N+1}$ (свободное пространство). Обозначим также через

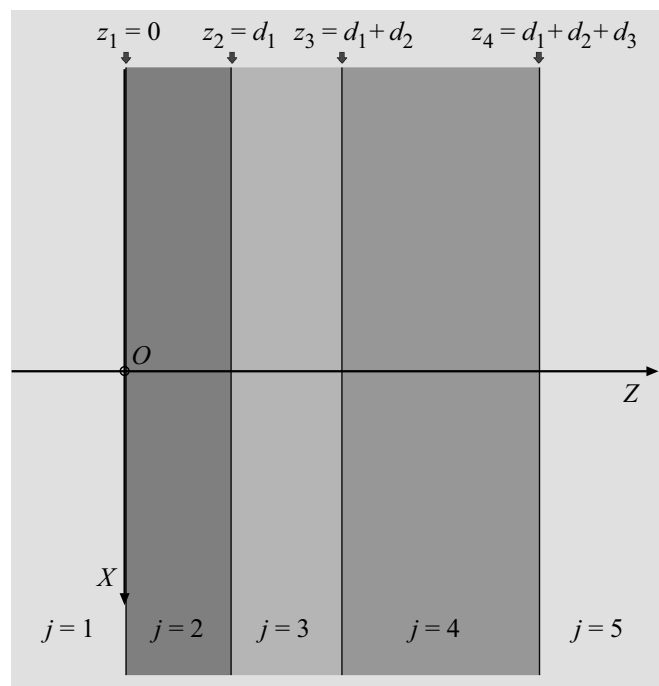


Рис. 2. Геометрия плоскостной структуры, состоящей из трех пленок.

z_j координаты N границ пленок по оси Z следующим образом:

$$z_1 = 0, \quad z_j = \sum_{m=1}^{j-1} d_m, \quad j = 2, \dots, N.$$

Уравнения Максвелла для полей в области с номером j можно записать в следующем виде:

$$\text{rot } \mathbf{E}_j = i\omega \mathbf{B}_j, \quad (1)$$

$$\text{rot } \mathbf{B}_j = \mu_j(-i\omega \varepsilon_j \mathbf{E}_j + \mathbf{J}_j), \quad (2)$$

где \mathbf{E}_j , \mathbf{B}_j и \mathbf{J}_j — векторы напряженности электрического поля, индукции магнитного поля и плотности стороннего (известного) тока в области с номером j (если источник тока отсутствует в области j , то $\mathbf{J}_j = 0$).

Решая уравнения Максвелла в каждой области с учетом граничных условий, найдем электромагнитное поле во всех областях. Рассмотрим сначала следующую вспомогательную задачу.

Распространение электромагнитной волны в слое, свободном от сторонних токов

Пусть в области с номером j нет сторонних токов между границами z_{j-1} и z_j (рис. 3). Диэлектрическая и

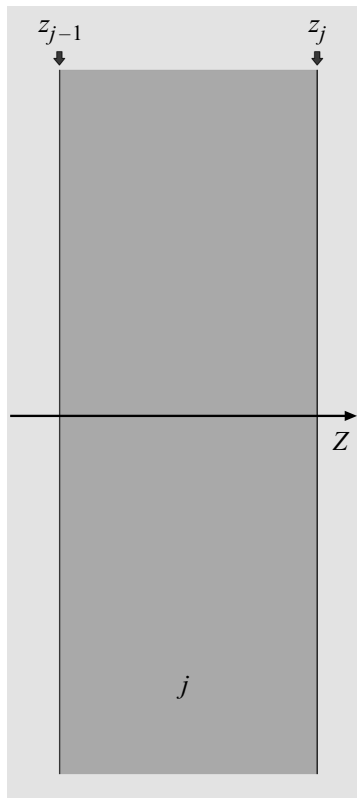


Рис. 3. Пленка с номером j , расположенная между границами z_{j-1} и z_j .

магнитная проницаемости среды в этой пленке равны ε_j и μ_j соответственно. Из уравнений (1) и (2) получаем уравнение для напряженности электрического поля

$$\text{rot rot } \mathbf{E}_j - \omega^2 \varepsilon_j \mu_j \mathbf{E}_j = 0 \quad (3)$$

и такое же уравнение для индукции \mathbf{B}_j . В рассматриваемой области $\text{div } \mathbf{E}_j = 0$ и $\text{div } \mathbf{B}_j = 0$, тогда, вводя оператор Лапласа $\Delta = \partial_{xx}^2 + \partial_{yy}^2 + \partial_{zz}^2$ и учитывая векторное тождество $\text{rot rot } \mathbf{F} = \text{grad div } \mathbf{F} - \Delta \mathbf{F}$, из (3) получим

$$\Delta \mathbf{E}_j + \omega^2 \varepsilon_j \mu_j \mathbf{E}_j = 0 \quad (4)$$

и такое же уравнение для \mathbf{B}_j .

Подставим в полученные выше уравнения компоненты полей в виде фурье-разложений. Например, представление для x -компоненты напряженности электрического поля представим в виде

$$E_{j,x}(x, y, z) = (2\pi)^{-2} \int_{-\infty}^{+\infty} \int_{-\infty}^{+\infty} \tilde{E}_{j,x}(\xi, \eta, z) e^{i(\xi x + \eta y)} d\xi d\eta,$$

где фурье-образ определяется выражением

$$\tilde{E}_{j,x}(\xi, \eta, z) = \int_{-\infty}^{+\infty} \int_{-\infty}^{+\infty} E_{j,x}(x, y, z) e^{-i(\xi x + \eta y)} dx dy.$$

Для остальных компонент будем использовать аналогичные представления и соответствующие символы. Переходя к фурье-образам, получаем из (4) три уравнения:

$$\begin{aligned} \frac{d^2 E_{j,x}}{dz^2} + \gamma_j^2 \tilde{E}_{j,x} &= 0, & \frac{d^2 E_{j,y}}{dz^2} + \gamma_j^2 \tilde{E}_{j,y} &= 0, \\ \frac{d^2 E_{j,z}}{dz^2} + \gamma_j^2 \tilde{E}_{j,z} &= 0, \end{aligned} \quad (5)$$

где $\gamma_j = \sqrt{k_j^2 - \xi^2 - \eta^2}$, $k_j = \omega \sqrt{\mu_j \varepsilon_j}$.

Общие решения уравнений (5) для направлений распространения волн вдоль „+“ и против „-“ оси Z можно записать в виде

$$\mathbf{E}_j^\pm(x, y, z) = \frac{1}{(2\pi)^2} \int_{-\infty}^{+\infty} \int_{-\infty}^{+\infty} \begin{pmatrix} \hat{E}_{j,x}^\pm \\ \hat{E}_{j,y}^\pm \\ \hat{E}_{j,z}^\pm \end{pmatrix} e^{\pm i\gamma_j z} e^{i(\xi x + \eta y)} d\xi d\eta$$

или, учитывая равенство $\text{div } \mathbf{E}_j = 0$ и, следовательно, $\xi \hat{E}_{j,x}^\pm + \eta \hat{E}_{j,y}^\pm \pm \gamma_j \hat{E}_{j,z}^\pm = 0$, в виде

$$\begin{aligned} \mathbf{E}_j^\pm(x, y, z) &= \frac{1}{(2\pi)^2} \int_{-\infty}^{+\infty} \int_{-\infty}^{+\infty} \begin{pmatrix} 1 & 0 \\ 0 & 1 \\ \mp \xi/\gamma_j & \mp \eta/\gamma_j \end{pmatrix} \\ &\times \begin{pmatrix} \hat{E}_{j,x}^\pm \\ \hat{E}_{j,y}^\pm \end{pmatrix} e^{\pm i\gamma_j z} e^{i(\xi x + \eta y)} d\xi d\eta. \end{aligned} \quad (6)$$

Поэтому общие решения уравнений (5) в области $[z_{j-1}, z_j]$ можно записать в виде

$$\begin{aligned} \mathbf{E}_j(x, y, z) = & \frac{1}{(2\pi)^2} \int_{-\infty}^{+\infty} \int_{-\infty}^{+\infty} \begin{pmatrix} 1 & 0 \\ 0 & 1 \\ -\xi/\gamma_j & -\eta/\gamma_j \end{pmatrix} \begin{pmatrix} \hat{E}_{j,x}^+ \\ \hat{E}_{j,y}^+ \end{pmatrix} \\ & \times e^{i\gamma_j(z-z_{j-1})} e^{i(\xi x + \eta y)} d\xi d\eta \\ & + \frac{1}{(2\pi)^2} \int_{-\infty}^{+\infty} \int_{-\infty}^{+\infty} \begin{pmatrix} 1 & 0 \\ 0 & 1 \\ \xi/\gamma_j & \eta/\gamma_j \end{pmatrix} \begin{pmatrix} \hat{E}_{j,x}^- \\ \hat{E}_{j,y}^- \end{pmatrix} \\ & \times e^{-i\gamma_j(z-z_j)} e^{i(\xi x + \eta y)} d\xi d\eta. \end{aligned} \quad (7)$$

Обратим внимание на отличие в форме записи (6) и (7). Формально эти уравнения переходят одно в другое, они описывают волны, распространяющиеся в противоположных направлениях по оси Z . Однако формулы содержат функции $\gamma_j = \sqrt{k_j^2 - \xi^2 - \eta^2}$. Для однозначного определения вида записи решений необходимо однозначно выбрать аналитическую ветвь функции комплексного переменного $\gamma_j(\lambda)$, где $\lambda^2 = \xi^2 + \eta^2$.

Как правило, для обычных сред без поглощения используют [24] ветвь

$$\gamma_j(\lambda) = \begin{cases} \sqrt{k_j^2 - \lambda^2}, & \lambda^2 \leq k_j^2, \\ i\sqrt{\lambda^2 - k_j^2}, & \lambda^2 \geq k_j^2. \end{cases} \quad (8)$$

Если взять вместо (8) другую аналитическую ветвь с отрицательной мнимой зависимостью, то волны с большими λ будут экспоненциально возрастать с ростом z при удалении от источников полей. Это противоречит принципу причинности, так как произойдет переход от запаздывающих к опережающим решениям уравнений Максвелла.

Более строго, в случае поглощающей среды существуют две точки ветвления функции $\gamma_j(\lambda)$: точка $k_{j,1} = \omega\sqrt{|\varepsilon_j||\mu_j|} \exp(i(\arg(\varepsilon_j) + \arg(\mu_j))/2)$ и точка $k_{j,2} = e^{i\pi} k_{j,1}$. Аналитическую ветвь функции $\gamma_j(\lambda)$, пригодную, в том числе, для описания материалов с отрицательным преломлением [16] и переходящую в (8) для обычной непоглощающей среды, можно определить как

$$\begin{aligned} \gamma_j(\lambda) = & \sqrt{|k_{j,1} - \lambda|} \exp\left(\frac{i \arg(k_{j,1} - \lambda)}{2}\right) \\ & \times \sqrt{|k_{j,2} - \lambda|} \exp\left(\frac{i \arg(\lambda - k_{j,2})}{2}\right), \end{aligned} \quad (9)$$

где функции $|\xi|$ и $\arg(\xi)$ есть модуль и аргумент комплексной переменной ξ .

Здесь особо хотелось бы подчеркнуть, что аналитическая ветвь (9) функции $\gamma_j(\lambda)$ переходит для обычных

материалов в пределе нулевого поглощения в аналитическую ветвь (8). Переход к отрицательно преломляющим материалам можно представить себе происходящим бесконечно малыми изменениями диэлектрической и магнитной проницаемостей, при которых решение будет выражаться через ту же аналитическую ветвь (9). Можно назвать это принципом соответствия между положительно и отрицательно преломляющими материалами.

В представлении полей (7) при любых z и правильном выборе аналитической ветви (9) будет обеспечена сходимость интегралов. При этом не будут возникать нефизические гармоники, экспоненциально усиливающиеся при больших значениях ξ и η .

Из уравнения $\text{rot } \mathbf{E}_j = i\omega \mathbf{B}_j$, учитывая равенство $\hat{E}_{j,z}^\pm = \mp \xi \hat{E}_{j,x}^\pm / \gamma_j \mp \eta \hat{E}_{j,y}^\pm / \gamma_j$ (из $\text{div } \mathbf{E} = 0$), общее решение для магнитного поля в рассматриваемой области с номером j (в пленке с номером $j-1$) можно записать в виде

$$\begin{aligned} \mathbf{B}_j(x, y, z) = & \frac{1}{(2\pi)^2} \int_{-\infty}^{+\infty} \int_{-\infty}^{+\infty} \begin{pmatrix} -\xi\eta/\omega\gamma_j & -(\gamma_j^2 + \eta^2)/\omega\gamma_j \\ (\gamma_j^2 + \xi^2)/\omega\gamma_j & \xi\eta/\omega\gamma_j \\ -\eta/\omega & \xi/\omega \end{pmatrix} \\ & \times \begin{pmatrix} \hat{E}_{j,x}^+ \\ \hat{E}_{j,y}^+ \end{pmatrix} e^{i\gamma_j(z-z_{j-1})} e^{i(\xi x + \eta y)} d\xi d\eta \\ & + \frac{1}{(2\pi)^2} \int_{-\infty}^{+\infty} \int_{-\infty}^{+\infty} \begin{pmatrix} \xi\eta/\omega\gamma_j & (\gamma_j^2 + \eta^2)/\omega\gamma_j \\ -(\gamma_j^2 + \xi^2)/\omega\gamma_j & -\xi\eta/\omega\gamma_j \\ -\eta/\omega & \xi/\omega \end{pmatrix} \\ & \times \begin{pmatrix} \hat{E}_{j,x}^- \\ \hat{E}_{j,y}^- \end{pmatrix} e^{-i\gamma_j(z-z_j)} e^{i(\xi x + \eta y)} d\xi d\eta. \end{aligned} \quad (10)$$

Вводя вектор-столбец $\hat{\mathbf{E}}_j = (\hat{E}_{j,x}^+; \hat{E}_{j,y}^+; \hat{E}_{j,x}^-; \hat{E}_{j,y}^-)^T$, из (7) и (10) выразим тангенциальные составляющие фурье-образов полей на границах области j в следующем матричном виде:

$$\begin{pmatrix} \tilde{E}_{j,x} \\ \tilde{E}_{j,y} \\ \tilde{B}_{j,x}/\mu_j \\ \tilde{B}_{j,y}/\mu_j \end{pmatrix} \Bigg|_{z=z_{j-1}} = \begin{pmatrix} \mathbf{I} & e^{i\gamma_j d_{j-1}} \mathbf{I} \\ \mathbf{G}_j & -e^{i\gamma_j d_{j-1}} \mathbf{G}_j \end{pmatrix} \hat{\mathbf{E}}_j, \quad (11)$$

$$\begin{pmatrix} \tilde{E}_{j,x} \\ \tilde{E}_{j,y} \\ \tilde{B}_{j,x}/\mu_j \\ \tilde{B}_{j,y}/\mu_j \end{pmatrix} \Bigg|_{z=z_j} = \begin{pmatrix} e^{i\gamma_j d_{j-1}} \mathbf{I} & \mathbf{I} \\ e^{i\gamma_j d_{j-1}} \mathbf{G}_j & -\mathbf{G}_j \end{pmatrix} \hat{\mathbf{E}}_j, \quad (12)$$

где $d_{j-1} = z_j - z_{j-1}$, \mathbf{I} — единичная матрица 2×2 , а матрица \mathbf{G}_j представима в виде

$$\mathbf{G}_j = \begin{pmatrix} -\frac{\xi\eta}{\omega\mu_j\gamma_j} & -\frac{\gamma_j^2 + \eta^2}{\omega\mu_j\gamma_j} \\ \frac{\gamma_j^2 + \xi^2}{\omega\mu_j\gamma_j} & \frac{\xi\eta}{\omega\mu_j\gamma_j} \end{pmatrix}. \quad (13)$$

Распространение электромагнитной волны в многослойной структуре, свободной от сторонних токов

Рассмотрим теперь многослойную структуру, внутри которой нет сторонних токов. Рассмотрим границу $z = z_j$ между областями с номерами j и $j + 1$. Условия непрерывности тангенциальных компонент напряженностей электрического поля и индукции магнитного поля на этой границе могут быть записаны в виде

$$E_{j,x}(x, y, z) - E_{j+1,x}(x, y, z) = 0,$$

$$E_{j,y}(x, y, z_j) - E_{j+1,y}(x, y, z_j) = 0,$$

$$B_{j,x}(x, y, z_j)/\mu_j - B_{j+1,x}(x, y, z_j)/\mu_{j+1} = 0,$$

$$B_{j,y}(x, y, z_j)/\mu_j - B_{j+1,y}(x, y, z_j)/\mu_{j+1} = 0,$$

где электрические и магнитные поля в области $j + 1$ выражаются формулами (7) и (10), в которых произведена замена индексов $j \rightarrow j + 1$. Так как уравнения Максвелла — линейные уравнения, то граничные условия должны выполняться для каждого члена фурье-разложения, из которых с помощью (11) и (12) получим матричное уравнение на границе $z = z_j$

$$\begin{pmatrix} e^{i\gamma_j d_{j-1}} \mathbf{I} & \mathbf{I} \\ e^{i\gamma_j d_{j-1}} \mathbf{G}_j & -\mathbf{G}_j \end{pmatrix} \hat{\mathbf{E}}_j = \begin{pmatrix} \mathbf{I} & e^{i\gamma_{j+1} d_j} \mathbf{I} \\ \mathbf{G}_{j+1} & -e^{i\gamma_{j+1} d_j} \mathbf{G}_{j+1} \end{pmatrix} \hat{\mathbf{E}}_{j+1}, \quad (14)$$

где $d_{j-1} = z_j - z_{j-1}$, $d_j = z_{j+1} - z_j$.

Уравнение (14) можно записать для $j = 2, \dots, (N - 1)$, где $(N + 1)$ — общее число областей, N — число границ, т.е. для всех границ, исключая первую ($j = 1$) и последнюю ($j = N$) границы. То есть исключая границу $z_1 = 0$ и $z_N = d_{\text{tot}} = \sum_{m=1}^{N-1} d_m$, где d_{tot} — общая толщина слоистой структуры (сумма толщин пленок, составляющих рассматриваемую структуру).

Общее решение для электрического и магнитного полей в области $j = 1$, т.е. в интервале $(-\infty, z]$, где $z_1 = 0$, запишем в виде

$$\begin{aligned} \mathbf{E}_1(x, y, z) = & \frac{1}{(2\pi)^2} \int_{-\infty}^{+\infty} \int_{-\infty}^{+\infty} \begin{pmatrix} 1 & 0 \\ 0 & 1 \\ -\xi/\gamma_1 & -\eta/\gamma_1 \end{pmatrix} \\ & \times \begin{pmatrix} \hat{E}_{1,x}^+ \\ \hat{E}_{1,y}^+ \end{pmatrix} e^{i\gamma_1 z} e^{i(\xi x + \eta y)} d\xi d\eta \\ & + \frac{1}{(2\pi)^2} \int_{-\infty}^{+\infty} \int_{-\infty}^{+\infty} \begin{pmatrix} 1 & 0 \\ 0 & 1 \\ \xi/\gamma_1 & \eta/\gamma_1 \end{pmatrix} \\ & \times \begin{pmatrix} \hat{E}_{1,x}^- \\ \hat{E}_{1,y}^- \end{pmatrix} e^{-i\gamma_1 z} e^{i(\xi x + \eta y)} d\xi d\eta, \quad (15) \end{aligned}$$

$$\mathbf{B}_1(x, y, z) =$$

$$\begin{aligned} = & \frac{1}{(2\pi)^2} \int_{-\infty}^{+\infty} \int_{-\infty}^{+\infty} \begin{pmatrix} -\xi\eta/\omega\gamma_1 & -(\gamma_1^2 + \eta^2)/\omega\gamma_1 \\ (\gamma_1^2 + \xi^2)/\omega\gamma_1 & \xi\eta/\omega\gamma_1 \\ -\eta/\omega & \xi/\omega \end{pmatrix} \\ & \times \begin{pmatrix} \hat{E}_{1,x}^+ \\ \hat{E}_{1,y}^+ \end{pmatrix} e^{i\gamma_1 z} e^{i(\xi x + \eta y)} d\xi d\eta \\ & + \frac{1}{(2\pi)^2} \int_{-\infty}^{+\infty} \int_{-\infty}^{+\infty} \begin{pmatrix} \xi\eta/\omega\gamma_1 & (\gamma_1^2 + \eta^2)/\omega\gamma_1 \\ -(\gamma_1^2 + \xi^2)/\omega\gamma_1 & -\xi\eta/\omega\gamma_1 \\ -\eta/\omega & \xi/\omega \end{pmatrix} \\ & \times \begin{pmatrix} \hat{E}_{1,x}^- \\ \hat{E}_{1,y}^- \end{pmatrix} e^{-i\gamma_1 z} e^{i(\xi x + \eta y)} d\xi d\eta. \quad (16) \end{aligned}$$

Тогда граничные условия на границе $z_1 = 0$ можно записать в виде

$$\begin{pmatrix} \mathbf{I} & \mathbf{I} \\ \mathbf{G}_1 & -\mathbf{G}_1 \end{pmatrix} \hat{\mathbf{E}}_1 = \begin{pmatrix} \mathbf{I} & e^{i\gamma_2 d_1} \mathbf{I} \\ \mathbf{G}_2 & -e^{i\gamma_2 d_1} \mathbf{G}_2 \end{pmatrix} \hat{\mathbf{E}}_2. \quad (17)$$

Аналогично общее решение для электрического и магнитного полей в области $j = N + 1$, т.е. в интервале

$[z_N, +\infty)$, запишем в виде

$$\begin{aligned} \mathbf{E}_{N+1}(x, y, z) &= \frac{1}{(2\pi)^2} \int_{-\infty}^{+\infty} \int_{-\infty}^{+\infty} \begin{pmatrix} 1 & 0 \\ 0 & 1 \\ -\xi/\gamma_{N+1} & -\eta/\gamma_{N+1} \end{pmatrix} \\ &\times \begin{pmatrix} \hat{E}_{N+1,x}^+ \\ \hat{E}_{N+1,y}^+ \end{pmatrix} e^{i\gamma_{N+1}(z-z_N)} e^{i(\xi x + \eta y)} d\xi d\eta \\ &+ \frac{1}{(2\pi)^2} \int_{-\infty}^{+\infty} \int_{-\infty}^{+\infty} \begin{pmatrix} 1 & 0 \\ 0 & 1 \\ \xi/\gamma_{N+1} & \eta/\gamma_{N+1} \end{pmatrix} \\ &\times \begin{pmatrix} \hat{E}_{N+1,x}^- \\ \hat{E}_{N+1,y}^- \end{pmatrix} e^{-i\gamma_{N+1}(z-z_N)} e^{i(\xi x + \eta y)} d\xi d\eta, \end{aligned} \quad (18)$$

$$\begin{aligned} \mathbf{B}_{N+1}(x, y, z) &= \\ &= \frac{1}{(2\pi)^2} \int_{-\infty}^{+\infty} \int_{-\infty}^{+\infty} \begin{pmatrix} -\xi\eta/\omega\gamma_{N+1} & -(\gamma_{N+1}^2 + \eta^2)/\omega\gamma_{N+1} \\ (\gamma_{N+1}^2 + \xi^2)/\omega\gamma_{N+1} & \xi\eta/\omega\gamma_{N+1} \\ -\eta/\omega & \xi/\omega \end{pmatrix} \\ &\times \begin{pmatrix} \hat{E}_{N+1,x}^+ \\ \hat{E}_{N+1,y}^+ \end{pmatrix} e^{i\gamma_{N+1}(z-z_N)} e^{i(\xi x + \eta y)} d\xi d\eta \\ &+ \frac{1}{(2\pi)^2} \int_{-\infty}^{+\infty} \int_{-\infty}^{+\infty} \begin{pmatrix} \xi\eta/\omega\gamma_{N+1} & (\gamma_{N+1}^2 + \eta^2)/\omega\gamma_{N+1} \\ -(\gamma_{N+1}^2 + \xi^2)/\omega\gamma_{N+1} & -\xi\eta/\omega\gamma_{N+1} \\ -\eta/\omega & \xi/\omega \end{pmatrix} \\ &\times \begin{pmatrix} \hat{E}_{N+1,x}^- \\ \hat{E}_{N+1,y}^- \end{pmatrix} e^{-i\gamma_{N+1}(z-z_N)} e^{i(\xi x + \eta y)} d\xi d\eta. \end{aligned} \quad (19)$$

Тогда граничные условия на границе z_N можно записать в виде

$$\begin{pmatrix} e^{i\gamma_N d_{N-1}} \mathbf{I} & \mathbf{I} \\ e^{i\gamma_N d_{N-1}} \mathbf{G}_N & -\mathbf{G}_N \end{pmatrix} \hat{\mathbf{E}}_N = \begin{pmatrix} \mathbf{I} & \mathbf{I} \\ \mathbf{G}_{N+1} & -\mathbf{G}_{N+1} \end{pmatrix} \hat{\mathbf{E}}_{N+1}. \quad (20)$$

Граничные условия (14), (17) и (20) позволяют связать векторы-столбцы напряженности электрического поля в первой и последней областях задачи (т.е. в полупро-

странствах вне плоскослоистой структуры):

$$\begin{aligned} \hat{\mathbf{E}}_1 &= \begin{pmatrix} \mathbf{I} & \mathbf{I} \\ \mathbf{G}_1 & -\mathbf{G}_1 \end{pmatrix}^{-1} \times \begin{pmatrix} \mathbf{I} & e^{i\gamma_2 d_1} \mathbf{I} \\ \mathbf{G}_2 & -e^{i\gamma_2 d_1} \mathbf{G}_2 \end{pmatrix} \\ &\times \begin{pmatrix} e^{i\gamma_2 d_1} \mathbf{I} & \mathbf{I} \\ e^{i\gamma_2 d_1} \mathbf{G}_2 & -\mathbf{G}_2 \end{pmatrix}^{-1} \times \dots \times \begin{pmatrix} \mathbf{I} & e^{i\gamma_N d_{N-1}} \mathbf{I} \\ \mathbf{G}_N & -e^{i\gamma_N d_{N-1}} \mathbf{G}_N \end{pmatrix} \\ &\times \begin{pmatrix} e^{i\gamma_N d_{N-1}} \mathbf{I} & \mathbf{I} \\ e^{i\gamma_N d_{N-1}} \mathbf{G}_N & -\mathbf{G}_N \end{pmatrix}^{-1} \times \begin{pmatrix} \mathbf{I} & \mathbf{I} \\ \mathbf{G}_{N+1} & -\mathbf{G}_{N+1} \end{pmatrix} \hat{\mathbf{E}}_{N+1}. \end{aligned}$$

Или

$$\hat{\mathbf{E}}_1 = \mathbf{M} \times \hat{\mathbf{E}}_{N+1}. \quad (21)$$

Матрица \mathbf{M} имеет вид $\mathbf{M} = \mathbf{T}_1 \times \left(\prod_{m=2}^N \mathbf{T}_m \right) \times \mathbf{T}_{N+1}$, где

$$\mathbf{T}_1 = \begin{pmatrix} \mathbf{I} & \mathbf{I} \\ \mathbf{G}_1 & -\mathbf{G}_1 \end{pmatrix}^{-1},$$

$$\mathbf{T}_m = \begin{pmatrix} \mathbf{I} & e^{i\gamma_m d_{m-1}} \mathbf{I} \\ \mathbf{G}_m & -e^{i\gamma_m d_{m-1}} \mathbf{G}_m \end{pmatrix} \begin{pmatrix} e^{i\gamma_m d_{m-1}} \mathbf{I} & \mathbf{I} \\ e^{i\gamma_m d_{m-1}} \mathbf{G}_m & -\mathbf{G}_m \end{pmatrix}^{-1},$$

$$\mathbf{T}_{N+1} = \begin{pmatrix} \mathbf{I} & \mathbf{I} \\ \mathbf{G}_{N+1} & -\mathbf{G}_{N+1} \end{pmatrix}.$$

Если нам известна, например, падающая на плоскослоистую структуру волна, а значит, известны компоненты $\hat{E}_{1,x}^+$ и $\hat{E}_{1,y}^+$ вектора-столбца $\hat{\mathbf{E}}_{1,y}$, то из уравнения (21) можно найти компоненты $\hat{E}_{1,x}^-$ и $\hat{E}_{1,y}^-$ и отраженную волну по формулам (15), (16)₂, а также компоненты $\hat{E}_{N+1,x}^+$ и $\hat{E}_{N+1,y}^+$ вектора-столбца $\hat{\mathbf{E}}_{N+1}$ и прошедшую волну по формулам (18), (19). Подробности решения подобных задач, в которых рассматриваются пространственно ограниченные падающие на плоскослоистую структуру пучки, можно найти, например, в работах [25–27].

Распространение электромагнитной волны в многослойной структуре от элементарного источника тока

Пусть имеется точечный излучатель, расположенный в точке $(0, 0, z_d)$ в области с номером s (рис. 4). Пусть этот излучатель определяется плотностью стороннего тока

$$\mathbf{J}(x, y, z) = (n_x \mathbf{e}_x + n_y \mathbf{e}_y + n_z \mathbf{e}_z) \delta(x) \delta(y) \delta(z - z_d),$$

где n_x, n_y, n_z — направляющие косинусы вектора тока вдоль осей координат, $\delta(x)$ — дельта-функция Дирака. Тогда фурье-образы составляющих этого тока определяются следующими выражениями:

$$\tilde{J}_{s,x}(\xi, \eta, z) = n_x \delta(z - z_d), \quad \tilde{J}_{s,y}(\xi, \eta, z) = n_y \delta(z - z_d),$$

$$\tilde{J}(\xi, \eta, z) = n_z \delta(z - z_d).$$

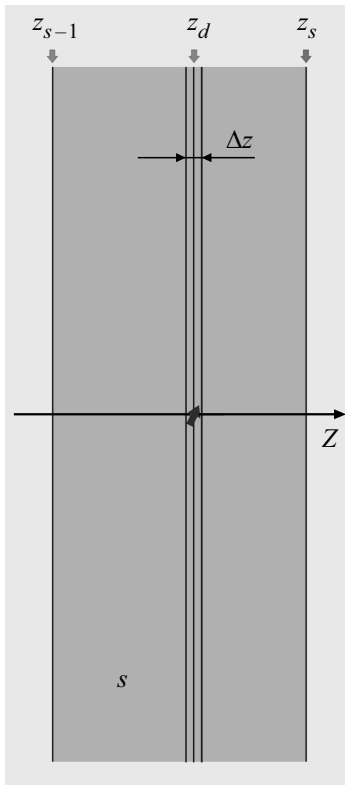


Рис. 4. Точечный излучатель, расположенный в точке $(0, 0, z_d)$ в области с номером s .

Пусть этот элементарный источник тока находится в бесконечно тонком слое $(z_d - \Delta z/2, z_d + \Delta z/2)$. Тогда уравнения Максвелла (1) и (2) для фурье-образов полей при $\Delta z \rightarrow 0$ можно записать в виде

$$\begin{cases} i\eta \tilde{E}_{s,z} - \frac{\Delta \tilde{E}_{s,y}}{\Delta z} = i\omega \tilde{B}_{s,x}, \\ \frac{\Delta \tilde{B}_{s,x}}{\Delta z} - i\xi \tilde{E}_{s,z} = i\omega \tilde{B}_{s,y}, \\ i\xi \tilde{E}_{s,y} - i\eta \tilde{E}_{s,x} = i\omega \tilde{B}_{s,z}. \end{cases} \quad (22)$$

$$\begin{cases} i\eta \tilde{B}_{s,z} - \frac{\Delta \tilde{B}_{s,y}}{\Delta z} = \mu_s (-i\omega \varepsilon_s \tilde{E}_{s,x} + n_x \delta(z - z_d)), \\ \frac{\Delta \tilde{B}_{s,x}}{\Delta z} - i\xi \tilde{B}_{s,z} = \mu_s (-i\omega \varepsilon_s \tilde{E}_{s,y} + n_y \delta(z - z_d)), \\ i\xi \tilde{B}_{s,y} - i\eta \tilde{B}_{s,x} = \mu_s (-i\omega \varepsilon_s \tilde{E}_{s,z} + n_z \delta(z - z_d)). \end{cases} \quad (23)$$

Так как z -компоненты величин из уравнений (22) и (23) можно выразить через x - и y -компоненты по формулам

$$\tilde{B}_{s,z} = \frac{\xi}{\omega} \tilde{E}_{s,y} - \frac{\eta}{\omega} \tilde{E}_{s,x},$$

$$\tilde{E}_{s,z} = -\frac{\xi}{\omega \varepsilon_s \mu_s} \tilde{B}_{s,y} + \frac{\eta}{\omega \varepsilon_s \mu_s} \tilde{B}_{s,x} + \frac{1}{i\omega \varepsilon_s} \tilde{J}_{s,z},$$

то для x - и y -компонент напряженности электрического поля и индукции магнитного поля получим

$$\begin{cases} \Delta \tilde{E}_{s,x} = \left(\frac{i\xi\eta}{\omega \varepsilon_s \mu_s} \tilde{B}_{s,x} + i \left(\omega - \frac{\xi^2}{\omega \varepsilon_s \mu_s} \right) \tilde{B}_{s,y} \right. \\ \quad \left. + \frac{\xi}{\omega \varepsilon_s} n_z \delta(z - z_d) \right) \Delta z, \\ \Delta \tilde{E}_{s,y} = \left(i \left(\frac{\eta^2}{\omega \varepsilon_s \mu_s} - \omega \right) \tilde{B}_{s,x} - \frac{i\xi\eta}{\omega \varepsilon_s \mu_s} \tilde{B}_{s,y} \right. \\ \quad \left. + \frac{\eta}{\omega \varepsilon_s} n_z \delta(z - z_d) \right) \Delta z, \\ \frac{\Delta \tilde{B}_{s,x}}{\mu_s} = \left(-\frac{i\xi\eta}{\omega \mu_s} \tilde{E}_{s,x} + i \left(\frac{\xi^2}{\omega \mu_s} - \omega \varepsilon_s \right) \tilde{E}_{s,y} \right. \\ \quad \left. + n_y \delta(z - z_d) \right) \Delta z, \\ \frac{\Delta \tilde{B}_{s,y}}{\mu_s} = \left(i \left(\omega \varepsilon_s - \frac{\eta^2}{\omega \mu_s} \right) \tilde{E}_{s,x} + \frac{i\xi\eta}{\omega \mu_s} \tilde{E}_{s,y} \right. \\ \quad \left. - n_x \delta(z - z_d) \right) \Delta z. \end{cases}$$

Тогда в пределе $\Delta z \rightarrow 0$ скачок тангенциальных компонент напряженности и индукции при переходе через бесконечно тонкий слой с током равен

$$\begin{pmatrix} \tilde{E}_{s,x} \\ \tilde{E}_{s,y} \\ \tilde{B}_{s,x}/\mu_s \\ \tilde{B}_{s,y}/\mu_s \end{pmatrix} \Big|_{z=z_d+0} - \begin{pmatrix} \tilde{E}_{s,x} \\ \tilde{E}_{s,y} \\ \tilde{B}_{s,x}/\mu_s \\ \tilde{B}_{s,y}/\mu_s \end{pmatrix} \Big|_{z=z_d-0} = \begin{pmatrix} n_z \xi / \omega \varepsilon_s \\ n_z \eta / \omega \varepsilon_s \\ n_y \\ -n_x \end{pmatrix}. \quad (24)$$

Особо отметим, что скачок напряженности электрического поля при переходе через рассматриваемый бесконечно тонкий слой ($\Delta z \rightarrow 0$), вообще говоря, зависит от диэлектрической проницаемости ε_s среды, в которой расположен рассматриваемый источник тока. Но излучение источников, у которых есть только составляющие тока вдоль границы, не зависит в явном виде от диэлектрических свойств среды, в которой они расположены.

Выразим теперь левую часть граничного условия (24) через векторы-столбцы $\hat{\mathcal{E}}_1$ и $\hat{\mathcal{E}}_{N+1}$ полупространств вне плоскостной структуры. Для этого разобьем область с номером s на две области и обозначим их индексами l и r (левая и правая, если смотреть на рис. 4). Введем векторы-столбцы $\hat{\mathcal{E}}_l$ и $\hat{\mathcal{E}}_r$ в этих областях. Тогда (24), учитывая (11) и (12), можно записать в виде

$$\begin{pmatrix} \mathbf{I} & e^{i\gamma_s(z_s - z_d)} \mathbf{I} \\ \mathbf{G}_s & -e^{i\gamma_s(z_s - z_d)} \mathbf{G}_s \end{pmatrix} \hat{\mathcal{E}}_r - \begin{pmatrix} e^{i\gamma_s(z_d - z_{s-1})} \mathbf{I} & \mathbf{I} \\ e^{i\gamma_s(z_d - z_{s-1})} \mathbf{G}_s & -\mathbf{G}_s \end{pmatrix} \hat{\mathcal{E}}_l = \mathbf{V}, \quad (25)$$

где $\mathbf{V} = (n_z \xi / \omega \varepsilon_0; n_z \eta / \omega \varepsilon_s; n_y; -n_x)^T$. Кроме того, из (21) следует, что

$$\hat{\mathcal{E}}_1 = \mathbf{Q}_L \hat{\mathcal{E}}_l, \quad (26)$$

где

$$\begin{aligned} \mathbf{Q}_L &= \begin{pmatrix} \mathbf{I} & \mathbf{I} \\ \mathbf{G}_1 & -\mathbf{G}_1 \end{pmatrix}^{-1} \\ &\times \begin{pmatrix} \mathbf{I} & e^{i\gamma_2 d_1} \mathbf{I} \\ \mathbf{G}_2 & -e^{i\gamma_2 d_1} \mathbf{G}_2 \end{pmatrix} \times \begin{pmatrix} e^{i\gamma_2 d_1} \mathbf{I} & \mathbf{I} \\ e^{i\gamma_2 d_1} \mathbf{G}_2 & -\mathbf{G}_2 \end{pmatrix}^{-1} \\ &\times \dots \times \begin{pmatrix} \mathbf{I} & e^{i\gamma_{s-1} d_{s-2}} \mathbf{I} \\ \mathbf{G}_{s-1} & -e^{i\gamma_{s-1} d_{s-2}} \mathbf{G}_{s-1} \end{pmatrix} \\ &\times \begin{pmatrix} e^{i\gamma_{s-1} d_{s-2}} \mathbf{I} & \mathbf{I} \\ e^{i\gamma_{s-1} d_{s-2}} \mathbf{G}_{s-1} & -\mathbf{G}_{s-1} \end{pmatrix}^{-1} \times \begin{pmatrix} \mathbf{I} & e^{i\gamma_s (z_d - z_{s-1})} \mathbf{I} \\ \mathbf{G}_s & -e^{i\gamma_s (z_d - z_{s-1})} \mathbf{G}_s \end{pmatrix}, \end{aligned}$$

а также

$$\hat{\mathbf{E}}_r = \mathbf{Q}_R \hat{\mathbf{E}}_{N+1}, \quad (27)$$

где

$$\begin{aligned} \mathbf{Q}_R &= \begin{pmatrix} e^{i\gamma_s (z_s - z_d)} \mathbf{I} & \mathbf{I} \\ e^{i\gamma_s (z_s - z_d)} \mathbf{G}_s & -\mathbf{G}_s \end{pmatrix}^{-1} \times \begin{pmatrix} \mathbf{I} & e^{i\gamma_{s+1} d_s} \mathbf{I} \\ \mathbf{G}_{s+1} & -e^{i\gamma_{s+1} d_s} \mathbf{G}_{s+1} \end{pmatrix} \\ &\times \begin{pmatrix} e^{i\gamma_{s+1} d_s} \mathbf{I} & \mathbf{I} \\ e^{i\gamma_{s+1} d_s} \mathbf{G}_{s+1} & -\mathbf{G}_{s+1} \end{pmatrix}^{-1} \times \dots \times \begin{pmatrix} \mathbf{I} & e^{i\gamma_N d_{N-1}} \mathbf{I} \\ \mathbf{G}_N & -e^{i\gamma_N d_{N-1}} \mathbf{G}_N \end{pmatrix} \\ &\times \begin{pmatrix} e^{i\gamma_N d_{N-1}} \mathbf{I} & \mathbf{I} \\ e^{i\gamma_N d_{N-1}} \mathbf{G}_N & -\mathbf{G}_N \end{pmatrix}^{-1} \times \begin{pmatrix} \mathbf{I} & \mathbf{I} \\ \mathbf{G}_{N+1} & -\mathbf{G}_{N+1} \end{pmatrix}. \end{aligned}$$

Подставляя (26), (27) в (25) и затем полученные выражения в (24), получаем

$$\mathbf{H}_R \times \hat{\mathbf{E}}_{N+1} = \mathbf{H}_L \times \hat{\mathbf{E}}_1 + \mathbf{V}, \quad (28)$$

где \mathbf{V} — вектор-столбец, характеризующий возбуждающее воздействие стороннего элементарного тока на систему, а матрицы \mathbf{H}_R и \mathbf{H}_L характеризуют отклик на внешнее возбуждение слоистой структуры справа и слева от излучателя и выражаются следующим образом:

$$\begin{aligned} \mathbf{H}_R &= \begin{pmatrix} \mathbf{I} & e^{i\gamma_s (z_s - z_d)} \mathbf{I} \\ \mathbf{G}_s & -e^{i\gamma_s (z_s - z_d)} \mathbf{G}_s \end{pmatrix} \mathbf{Q}_R \\ &= \mathbf{T}_R \times \left(\prod_{m=s+1}^N \mathbf{T}_m \right) \times \mathbf{T}_{N+1}, \\ \mathbf{H}_L &= \begin{pmatrix} e^{i\gamma_s (z_d - z_{s-1})} \mathbf{I} & \mathbf{I} \\ e^{i\gamma_s (z_d - z_{s-1})} \mathbf{G}_s & -\mathbf{G}_s \end{pmatrix} (\mathbf{Q}_L)^{-1} \\ &= \left(\mathbf{T}_1 \times \left(\prod_{m=2}^{s-1} \mathbf{T}_m \right) \times \mathbf{T}_L \right)^{-1}, \end{aligned}$$

где матрицы \mathbf{T}_m при $m \neq s$ выражаются формулой

$$\mathbf{T}_m = \begin{pmatrix} \mathbf{I} & e^{i\gamma_m d_{m-1}} \mathbf{I} \\ \mathbf{G}_m & -e^{i\gamma_m d_{m-1}} \mathbf{G}_m \end{pmatrix} \begin{pmatrix} e^{i\gamma_m d_{m-1}} \mathbf{I} & \mathbf{I} \\ e^{i\gamma_m d_{m-1}} \mathbf{G}_m & -\mathbf{G}_m \end{pmatrix}^{-1},$$

а матрицы \mathbf{T}_L и \mathbf{T}_R — формулами

$$\begin{aligned} \mathbf{T}_L &= \begin{pmatrix} \mathbf{I} & e^{i\gamma_s (z_d - z_{s-1})} \mathbf{I} \\ \mathbf{G}_s & -e^{i\gamma_s (z_d - z_{s-1})} \mathbf{G}_s \end{pmatrix} \begin{pmatrix} e^{i\gamma_s (z_d - z_{s-1})} \mathbf{I} & \mathbf{I} \\ e^{i\gamma_s (z_d - z_{s-1})} \mathbf{G}_s & -\mathbf{G}_s \end{pmatrix}^{-1}, \\ \mathbf{T}_R &= \begin{pmatrix} \mathbf{I} & e^{i\gamma_s (z_s - z_d)} \mathbf{I} \\ \mathbf{G}_s & -e^{i\gamma_s (z_s - z_d)} \mathbf{G}_s \end{pmatrix} \begin{pmatrix} e^{i\gamma_s (z_s - z_d)} \mathbf{I} & \mathbf{I} \\ e^{i\gamma_s (z_s - z_d)} \mathbf{G}_s & -\mathbf{G}_s \end{pmatrix}^{-1}. \end{aligned}$$

В вышеприведенных формулах матрицы \mathbf{G}_s выражаются по формулам (13).

В рассматриваемой задаче источники полей находятся внутри плоскостной структуры. Поэтому в столбцах $\hat{\mathbf{E}}_1$ и $\hat{\mathbf{E}}_{N+1}$, есть только компоненты волн, идущие от плоскостной структуры. Поэтому эти столбцы имеют вид

$$\hat{\mathbf{E}}_1 = (0; 0; \hat{E}_{1,x}^-; \hat{E}_{1,y}^-)^T, \quad \hat{\mathbf{E}}_{N+1} = (\hat{E}_{N+1,x}^+; \hat{E}_{N+1,y}^+; 0; 0)^T.$$

Чтобы получить оставшиеся отличные от нуля компоненты $\hat{\mathbf{E}}_1$ и $\hat{\mathbf{E}}_{N+1}$ разобьем матрицы \mathbf{H}_R и \mathbf{H}_L каждую на четыре подматрицы 2×2 следующим образом:

$$\mathbf{H}_R = \begin{pmatrix} \mathbf{H}_{RA} & \mathbf{H}_{RB} \\ \mathbf{H}_{RC} & \mathbf{H}_{RD} \end{pmatrix}, \quad \mathbf{H}_L = \begin{pmatrix} \mathbf{H}_{LA} & \mathbf{H}_{LB} \\ \mathbf{H}_{LC} & \mathbf{H}_{LD} \end{pmatrix}.$$

Тогда уравнение (28) примет вид

$$\begin{pmatrix} \mathbf{H}_{RA} & \mathbf{H}_{RB} \\ \mathbf{H}_{RC} & \mathbf{H}_{RD} \end{pmatrix} \times \begin{pmatrix} \hat{E}_{N+1,x}^+ \\ \hat{E}_{N+1,y}^+ \\ 0 \\ 0 \end{pmatrix} = \begin{pmatrix} \mathbf{H}_{LA} & \mathbf{H}_{LB} \\ \mathbf{H}_{LC} & \mathbf{H}_{LD} \end{pmatrix} \times \begin{pmatrix} 0 \\ 0 \\ \hat{E}_{1,x}^- \\ \hat{E}_{1,y}^- \end{pmatrix} + \mathbf{V}. \quad (29)$$

Если еще разбить вектор $\mathbf{V} = (V_1; V_2; V_3; V_4)^T$ на $\mathbf{V}_A = (V_1, V_2)^T$ и $\mathbf{V}_B = (V_3, V_4)^T$, то уравнение (29) можно представить следующей системой из двух матричных уравнений:

$$\begin{aligned} \mathbf{H}_{RA} \begin{pmatrix} \hat{E}_{N+1,x}^+ \\ \hat{E}_{N+1,y}^+ \end{pmatrix} &= \mathbf{H}_{LB} \begin{pmatrix} \hat{E}_{1,x}^- \\ \hat{E}_{1,y}^- \end{pmatrix} + \mathbf{V}_A, \\ \mathbf{H}_{RC} \begin{pmatrix} \hat{E}_{N+1,x}^+ \\ \hat{E}_{N+1,y}^+ \end{pmatrix} &= \mathbf{H}_{LD} \begin{pmatrix} \hat{E}_{1,x}^- \\ \hat{E}_{1,y}^- \end{pmatrix} + \mathbf{V}_B. \end{aligned}$$

Полученные уравнения можно снова объединить в одно матричное уравнение 4×4 :

$$\begin{pmatrix} -\mathbf{H}_{LB} & \mathbf{H}_{RA} \\ -\mathbf{H}_{LD} & \mathbf{H}_{RC} \end{pmatrix} \hat{\mathbf{E}}_{\text{out}} = \mathbf{V}, \quad (30)$$

где введен вектор-столбец $\hat{\mathbf{E}}_{\text{out}} = (\hat{E}_{1,x}^-; \hat{E}_{1,y}^-; \hat{E}_{N+1,x}^+; \hat{E}_{N+1,y}^+)^T$.

Решая это уравнение, найдем $\hat{E}_{1,x}^-$, $\hat{E}_{1,y}^-$ и $\hat{E}_{N+1,x}^+$, $\hat{E}_{N+1,y}^+$, а значит, волну, уходящую из плоскостной

структуры влево (в направлении $z \rightarrow +\infty$), по формулам

$$\mathbf{E}_1(x, y, z) = \frac{1}{(2\pi)^2} \int_{-\infty}^{+\infty} \int_{-\infty}^{+\infty} \begin{pmatrix} 1 & 0 \\ 0 & 1 \end{pmatrix} \begin{pmatrix} \xi/\gamma_1 & \eta/\gamma_1 \end{pmatrix} \times \begin{pmatrix} \hat{E}_{1,x}^- \\ \hat{E}_{1,y}^- \end{pmatrix} e^{-i\gamma_1 z} e^{i(\xi x + \eta y)} d\xi d\eta, \quad (31)$$

$$\mathbf{V}_1(x, y, z) = \frac{1}{(2\pi)^2} \int_{-\infty}^{+\infty} \int_{-\infty}^{+\infty} \begin{pmatrix} \xi\eta/\omega\gamma_1 & (\gamma_1^2 + \eta^2)/\omega\gamma_1 \\ -(\gamma_1^2 + \xi^2)/\omega\gamma_1 & -\xi\eta/\omega\gamma_1 \\ -\eta/\omega & \xi/\omega \end{pmatrix} \times \begin{pmatrix} \hat{E}_{1,x}^- \\ \hat{E}_{1,y}^- \end{pmatrix} e^{-i\gamma_1 z} e^{i(\xi x + \eta y)} d\xi d\eta \quad (32)$$

и волну, уходящую вправо от плоскостной структуры (в направлении $z \rightarrow +\infty$), по формулам

$$\mathbf{E}_{N+1}(x, y, z) = \frac{1}{(2\pi)^2} \int_{-\infty}^{+\infty} \int_{-\infty}^{+\infty} \begin{pmatrix} 1 & 0 \\ 0 & 1 \end{pmatrix} \begin{pmatrix} -\xi/\gamma_{N+1} & -\eta/\gamma_{N+1} \end{pmatrix} \times \begin{pmatrix} \hat{E}_{N+1,x}^+ \\ \hat{E}_{N+1,y}^+ \end{pmatrix} e^{i\gamma_{N+1}(z-z_N)} e^{i(\xi x + \eta y)} d\xi d\eta, \quad (33)$$

$$\mathbf{V}_{N+1}(x, y, z) = \frac{1}{(2\pi)^2} \int_{-\infty}^{+\infty} \int_{-\infty}^{+\infty} \begin{pmatrix} -\xi\eta/\omega\gamma_{N+1} & -(\gamma_{N+1}^2 + \eta^2)/\omega\gamma_{N+1} \\ (\gamma_{N+1}^2 + \xi^2)/\omega\gamma_{N+1} & \xi\eta/\omega\gamma_{N+1} \\ -\eta/\omega & \xi/\omega \end{pmatrix} \times \begin{pmatrix} \hat{E}_{N+1,x}^+ \\ \hat{E}_{N+1,y}^+ \end{pmatrix} e^{i\gamma_{N+1}(z-z_N)} e^{i(\xi x + \eta y)} d\xi d\eta. \quad (34)$$

Наконец, при необходимости, зная $\hat{\mathbf{E}}_1$ и $\hat{\mathbf{E}}_{N+1}$, можно найти векторы-столбцы поля в любой внутренней области $\hat{\mathbf{E}}_j$, так как они однозначно определяются граничными условиями. После этого электромагнитные поля в любой из этих областей могут быть найдены по формулам (7) и (10). Таким образом, электромагнитные поля будут определены во всем пространстве.

Распределение электрического поля в фокусе линзы Веселаго

Рассмотрим теперь задачу фокусировки излучения от элементарного единичного источника, расположенного

на расстоянии d от линзы Веселаго в свободном полупространстве $j = 4$ (рис. 1) в фокусе линзы. Поляризация источника — вдоль оси X ($n_x = 1, n_y = 0, n_z = 0$). Толщина линзы равна $2d$. Тогда $N = 3, z_d = z_3 = 3d, \mathbf{H}_R = \mathbf{T}_4, \mathbf{H}_L = (\mathbf{T}_1 \times \mathbf{T}_2 \times \mathbf{T}_3)^{-1}$ и уравнение (28) примет вид

$$\mathbf{T}_4 \times \hat{\mathbf{E}}_4 = (\mathbf{T}_1 \times \mathbf{T}_2 \times \mathbf{T}_3)^{-1} \times \hat{\mathbf{E}}_1 + \mathbf{V}, \quad (35)$$

где матрицы с учетом толщин слоев выражаются следующими формулами:

$$\mathbf{T}_1 = \begin{pmatrix} \mathbf{I} & \mathbf{I} \\ \mathbf{G}_1 & -\mathbf{G}_1 \end{pmatrix}^{-1},$$

$$\mathbf{T}_2 = \begin{pmatrix} \mathbf{I} & e^{i2\gamma_2 d} \mathbf{I} \\ \mathbf{G}_2 & -e^{-i2\gamma_2 d} \mathbf{G}_2 \end{pmatrix} \begin{pmatrix} e^{i2\gamma_2 d} \mathbf{I} & \mathbf{I} \\ e^{i2\gamma_2 d} \mathbf{G}_2 & -\mathbf{G}_2 \end{pmatrix}^{-1},$$

$$\mathbf{T}_3 = \begin{pmatrix} \mathbf{I} & e^{i\gamma_3 d} \mathbf{I} \\ \mathbf{G}_3 & -e^{i\gamma_3 d} \mathbf{G}_3 \end{pmatrix} \begin{pmatrix} e^{i\gamma_3 d} \mathbf{I} & \mathbf{I} \\ e^{i\gamma_3 d} \mathbf{G}_3 & -\mathbf{G}_3 \end{pmatrix}^{-1},$$

$$\mathbf{T}_4 = \begin{pmatrix} \mathbf{I} & \mathbf{I} \\ \mathbf{G}_4 & -\mathbf{G}_4 \end{pmatrix},$$

а вектор-столбец стороннего тока равен $\mathbf{V} = (0; 0; 0; -1)^T$.

Учитывая, что $(\mathbf{T}_1 \times \mathbf{T}_2 \times \mathbf{T}_3)^{-1} = \mathbf{T}_3^{-1} \times \mathbf{T}_2^{-1} \times \mathbf{T}_1^{-1}$, получим

$$\mathbf{H}_L = (\mathbf{T}_1 \times \mathbf{T}_2 \times \mathbf{T}_3) = \mathbf{T}_3^{-1} \times \mathbf{T}_2^{-1} \times \mathbf{T}_1^{-1} = \begin{pmatrix} e^{i\gamma_3 d} \mathbf{I} & \mathbf{I} \\ e^{i\gamma_3 d} \mathbf{G}_3 & -\mathbf{G}_3 \end{pmatrix} \begin{pmatrix} \mathbf{I} & e^{i\gamma_2 d} \mathbf{I} \\ \mathbf{G}_2 & -e^{i2\gamma_2 d} \mathbf{G}_2 \end{pmatrix}^{-1} \begin{pmatrix} \mathbf{I} & \mathbf{I} \\ \mathbf{G}_1 & -\mathbf{G}_1 \end{pmatrix}^{-1} \times \begin{pmatrix} e^{i2\gamma_2 d} \mathbf{I} & \mathbf{I} \\ e^{i2\gamma_2 d} \mathbf{G}_2 & -\mathbf{G}_2 \end{pmatrix} \begin{pmatrix} \mathbf{I} & e^{i2\gamma_2 d} \mathbf{I} \\ \mathbf{G}_2 & -e^{i2\gamma_2 d} \mathbf{G}_2 \end{pmatrix}^{-1} \begin{pmatrix} \mathbf{I} & \mathbf{I} \\ \mathbf{G}_1 & -\mathbf{G}_1 \end{pmatrix}.$$

Если ввести вектор-столбец $\hat{\mathbf{E}}_{\text{out}} = (\hat{E}_{1,x}^-; \hat{E}_{1,y}^-; \hat{E}_{1,x}^+; \hat{E}_{1,y}^+)^T$, уравнение (30) для данной задачи примет вид

$$\begin{pmatrix} -\mathbf{H}_{LB} & \mathbf{I} \\ -\mathbf{H}_{LD} & \mathbf{G}_4 \end{pmatrix} \times \hat{\mathbf{E}}_{\text{out}} = \mathbf{V}. \quad (36)$$

Решая линейное уравнение (36), найдем $\hat{E}_{1,x}^-, \hat{E}_{1,y}^-$ и $\hat{E}_{4,x}^+, \hat{E}_{4,y}^+$, и по $\hat{E}_{1,x}^-$ и $\hat{E}_{1,y}^-$ найдем поля в полупространстве $j = 1$ по формулам (31), (32).

Рассмотрим составляющую

$$E_{1,x}(x, y, z) = (2\pi)^{-2} \int_{-\infty}^{+\infty} \int_{-\infty}^{+\infty} \hat{E}_{1,x}^- e^{-i\gamma_1 z} e^{i(\xi x + \eta y)} d\xi d\eta.$$

Как было показано в работе [20], при переходе к полярным координатам (λ, ϑ) в плоскости (ξ, η) по

формулам $\xi = \lambda \cos \vartheta$, $\eta = \lambda \sin \vartheta$ и к полярным координатам ρ , φ в плоскости (x, y) по формулам $x = \rho \cos \varphi$, $y = \rho \sin \varphi$, фурье-образ составляющей напряженности поля $\hat{E}_{1,x}^-(\xi, \eta)$ (это следует из симметрии задачи) можно представить в виде

$$\hat{E}_{1,x}^-(\xi, \eta) = Q(\lambda) + S(\lambda) \sin^2 \vartheta,$$

где

$$\lambda = \sqrt{\xi^2 + \eta^2}, \quad \vartheta = \arctg(\xi, \eta).$$

Тогда

$$\begin{aligned} E_{1,x}(\rho, \varphi, z) &= \frac{1}{(2\pi)^2} \int_0^{+\infty} \left(\int_0^{2\pi} (Q(\gamma) + S(\gamma) \sin^2 \vartheta) \right. \\ &\quad \left. \times e^{-i\gamma_1 z} e^{i\rho\lambda \cos(\varphi-\vartheta)} d\vartheta \right) \lambda d\lambda \\ &= \frac{1}{(2\pi)^2} \int_0^{+\infty} (Q(\gamma) + S(\gamma)) \lambda e^{-i\gamma_1 z} \left(\int_0^{2\pi} e^{i\rho\lambda \cos(\varphi-\vartheta)} d\vartheta \right) d\lambda \\ &\quad - \frac{1}{(2\pi)^2} \int_0^{+\infty} S(\gamma) \lambda e^{-i\gamma_1 z} \left(\int_0^{2\pi} \cos^2 \vartheta e^{i\rho\lambda \cos(\varphi-\vartheta)} d\vartheta \right) d\lambda. \end{aligned}$$

Учитывая интегральное представление функций Бесселя:

$$J_n(\rho\lambda) = i^{-n} (2\pi)^{-1} \int_0^{2\pi} e^{i\rho\lambda \cos \theta} e^{in\theta} d\theta,$$

нетрудно получить следующие представления интегралов в скобках:

$$\int_0^{2\pi} e^{i\rho\lambda \cos(\varphi-\vartheta)} d\vartheta = 2\pi J_0(\rho\lambda) \quad \text{и}$$

$$\int_0^{2\pi} e^{i\rho\lambda \cos(\varphi-\vartheta)} \cos^2 \vartheta d\vartheta = \pi (J_0(\rho\lambda) - J_2(\rho\lambda) \cos 2\varphi).$$

Тогда выражение для $E_{1,x}$ примет вид

$$\begin{aligned} E_{1,x}(\rho, \varphi, z) &= \frac{1}{4\pi} \int_0^{+\infty} (2Q(\gamma) + S(\gamma)) \lambda e^{-i\gamma_1 z} J_0(\rho\lambda) d\lambda \\ &\quad + \frac{\cos 2\varphi}{4\pi} \int_0^{+\infty} S(\gamma) \lambda J_2(\rho\lambda) e^{-i\gamma_1 z} d\lambda. \end{aligned}$$

Или

$$\begin{aligned} E_{1,x}(x, y, z) &= \frac{1}{4\pi} \int_0^{+\infty} (2Q(\gamma) + S(\gamma)) \lambda e^{-i\gamma_1 z} \\ &\quad \times J_0(\lambda \sqrt{x^2 + y^2}) d\lambda + \frac{\cos(2\arctg(y/x))}{4\pi} \\ &\quad \times \int_0^{+\infty} S(\gamma) \lambda J_2(\lambda \sqrt{x^2 + y^2}) e^{-i\gamma_1 z} d\lambda. \end{aligned} \quad (37)$$

Численно интеграл (37) вычислялся следующим образом. Достаточно большой интервал интегрирования по параметру λ разбивался на достаточно большое число точек λ_p . В каждой из этих точек вычислялись $Q(\lambda_p)$ и $S(\lambda_p)$ по формулам $Q(\lambda_p) = \hat{E}_{1,x}^-(\lambda_p, 0)$ и $S(\lambda_p) = \hat{E}_{1,x}^-(0, \lambda_p) - Q(\lambda_p)$, причем $\hat{E}_{1,x}^-(\lambda_p, 0)$ и $\hat{E}_{1,x}^-(0, \lambda_p)$ вычислялись из решения уравнения (36). По полученным значениям функций находились сплайн-аппроксимации, которые подставлялись в одномерный интеграл (37). С вычислительной точки зрения такое одномерное интегрирование гораздо выгоднее двумерного по (ξ, η) . Отметим, что в пределе нулевого поглощения в материале с отрицательным преломлением ($j = 2$) аналитическая ветвь (9) переходит в функцию

$$\gamma_2(\lambda) = \begin{cases} -\sqrt{k_2^2 - \lambda^2}, & |\lambda| \leq |k_2|, \\ i\sqrt{\lambda^2 - k_2^2}, & |\lambda| > |k_2|, \end{cases}$$

где $k_2 = \omega \sqrt{|\varepsilon_1| |\mu_2|} \exp(i(\arg(\varepsilon_2) + \arg(\mu_2))/2) = -\omega \sqrt{\varepsilon_0 \mu_0} = -\omega/c$.

В принципе аналогично можно вычислить y - и z -компоненты напряженности электрического поля в полупространстве $j = 1$. Однако для исследования фокального распределения достаточно рассматривать только $|E_{1,x}|$, так как в самом фокусе существует лишь x -компонента напряженности электрического поля (источник тока направлен вдоль оси X). Можно показать, что при небольших отклонениях точки наблюдения от фокальной точки \mathbf{F} другие компоненты поля малы.

На рис. 5 представлены распределения модуля (амплитуды) напряженности электрического поля $|E_{1,x}|$ в окрестности точки $(x_F, y_F, z_F) = (0, 0, -d)$ фокуса \mathbf{F} . Расчеты были проведены для характерного размера задачи $d = 50\lambda_0$, где $\lambda_0 = 633 \text{ nm}$ — длина волны в вакууме. На рис. 5, *a* представлено распределение амплитуды в E -плоскости ($|E_{1,x}(x, 0, -d)|$ в зависимости от x/λ_0), на рис. 5, *b* — распределение амплитуды в H -плоскости ($|E_{1,x}(0, y, -d)|$ в зависимости от y/λ_0), на рис. 5, *c* — распределение амплитуды вдоль оси Z ($|E_{1,x}(0, 0, z)|$ в зависимости от отклонения точки наблюдения от фокуса, выраженного в длинах волн $(z - z_F/\lambda_0 = (z + d)/\lambda_0)$). Оказалось, что ширины всех представленных распределений (по фиксированному уровню) близки, и с точностью до множителя

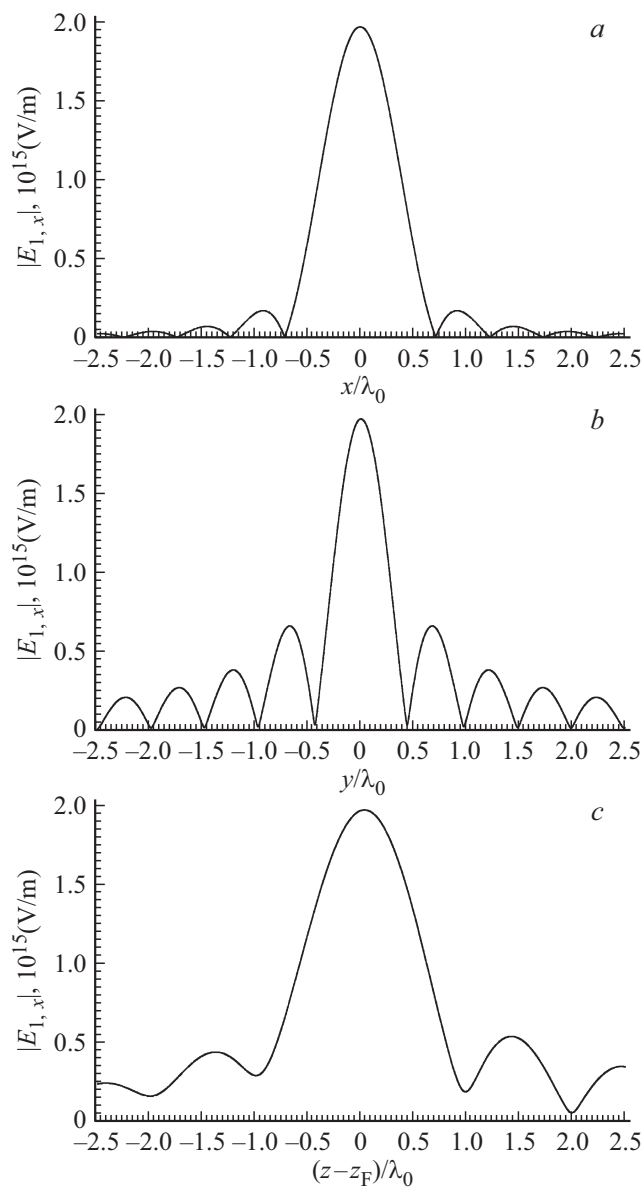


Рис. 5. Распределения амплитуды напряженности электрического поля $|E_{1,x}|$ в окрестности фокальной точки F : (a) в E -плоскости, (b) в H -плоскости, (c) по оси Z линзы.

порядка единицы равны длине волны. Если длину волны увеличить в κ раз, напряженность поля в максимуме уменьшится в κ^2 раз. Таким образом, кривые на рис. 5, полученные для $\lambda_0 = 633$ nm, легко могут быть пересчитаны для другой длины волны. Кроме того, оказалось, что при увеличении d , начиная с $d \sim 10\lambda_0$, ширины распределений и максимальная амплитуда поля в фокусе меняются слабо (лишь на несколько процентов).

Для сравнения отметим, что аналогичные результаты для малых поглощений в линзе Веселаго были получены в работе [28], основанной на теории [29]. Однако из работы [28] все же не вполне ясно, какую аналитическую ветвь авторы использовали при расчетах, поскольку на работу [16] они не ссылаются.

Заключение

Развитая строгая теория линзы с отрицательным преломлением (линзы Веселаго) подтверждает результаты работы [16] об отсутствии в фокусе супер- или сверхразрешения. Причем в отличие от [16] этот вывод доказан и для случая идеального отрицательно преломляющего материала без поглощения. Итак, в фокусе всегда будет наблюдаться фокальное распределение, с шириной приблизительно равной длине волны. Этот вывод имеет важное общетеоретическое значение.

Конфликт интересов

Автор заявляет, что у него нет конфликта интересов.

Список литературы

- [1] Веселаго В.Г. // УФН. 1967. Т. 92. С. 517; Veselago V.G. // Sov. Phys. Usp. 1968. V. 10. P. 509.
- [2] Smith D.R. et al. // Phys. Rev. Lett. 2000. V. 84. P. 4184.
- [3] Shelby R.A., Smith D.R., Schultz S. // Science. 2001. V. 292. P. 77.
- [4] Pendry J.B. // Phys. Rev. Lett. 2000. V. 85. P. 3966.
- [5] Williams J.M. // Phys. Rev. Lett. 2001. V. 87. P. 249703-1.
- [6] Pendry J.B. // Phys. Rev. Lett. 2001. V. 87. P. 249704-1.
- [7] Cui T.J., Cheng Q., Lu W.B. et al. // Phys. Rev. B. 2005. V. 71. P. 045114.
- [8] Chen J.J., Grzegorzczak T.M., Wu B. et al. // Phys. Rev. E. 2006. V. 74. P. 046615.
- [9] Alitalo P., Tretyakov S.A. // Metamaterials. 2007. V. 1. P. 81.
- [10] Cheng Q., Cui T.J. // Opt. Lett. 2005. V. 30. N 10. P. 1216.
- [11] Scalora M., D'Aguanno G., Mattiucci N. et al. // Opt. Express. 2007. V. 15. N 2. P. 508.
- [12] Podolskiy V.A., Kuhta N.A., Milton G.W. // Appl. Phys. Lett. 2005. V. 87. P. 231113.
- [13] Шевченко В.В. // УФН. 2011. Т. 181. № 11. С. 1171.
- [14] Сивухин Д.В. Общий курс физики. Т. IV. Оптика. М.: Наука, 1985.
- [15] Петрин А.Б. // Квант. электрон. 2013. Т. 43. № 9. С. 814.
- [16] Петрин А.Б. // ЖЭТФ. 2008. Т. 134. № 3(9). С. 436.
- [17] Петрин А.Б. // Письма в ЖЭТФ. 2008. Т. 87. № 9. С. 550.
- [18] Sommerfeld A. // Ann. Physik. (Leipzig). 1926. V. 81. P. 1135.
- [19] Wait J.R. // IEEE Antennas and Propagation Magazine. 1998. V. 40. N 5. P. 7.
- [20] Петрин А.Б. // Опт. и спектр. 2020. Т. 128. № 11. С. 1676.
- [21] Петрин А.Б. // Опт. и спектр. 2020. Т. 128. № 12. С. 1874.
- [22] Reed C.E., Giergiel J. // Phys. Rev. B. 1997. V. 36. N 9. P. 4990.
- [23] Lukosz W., Kunz R.E. // J. Opt. Soc. Am. 1977. V. 67. N 12. P. 1615.
- [24] King R.W.P., Smith G.S. Antennas in Matter. Cambridge, MA: M.I.T. Press, 1981.
- [25] Петрин А.Б. // Опт. и спектр. 2018. Т. 125. № 3. С. 375.
- [26] Петрин А.Б. // Опт. и спектр. 2019. Т. 126. № 3. С. 350.
- [27] Петрин А.Б. // Опт. и спектр. 2019. Т. 127. № 4. С. 654.
- [28] Tran Minh Hien, Ho Trung Dung // Phys. Rev. A. 2012. V. 85. P. 015804.
- [29] Tomas M.S. // Phys. Rev. A. 1995. V. 51. N 3. P. 2545.